

Cinématique Inverse

Nicolas Holzschuch

Cours d'Option Majeure 2

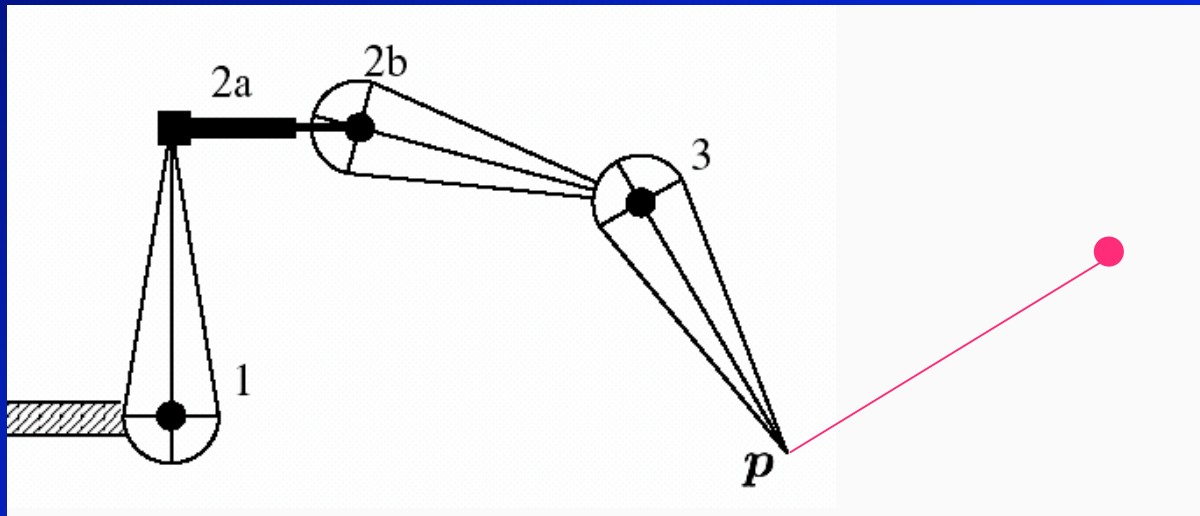
`Nicolas.Holzschuch@imag.fr`

Plan du cours

- Cinématique inverse :
 - Pourquoi faire ?
 - Animation d'un modèle
- Manipulation directe du modèle :
 - Sélection
 - Tirer une partie du modèle

Cinématique inverse

- Objet articulé
 - Liens, articulations
 - Objectif à atteindre



Cinématique inverse

- Donnée : position à atteindre (M)
- Sortie : valeurs des paramètres des articulations
- \mathbf{q} = vecteur des paramètres du modèle
 - $\mathbf{q} = (q_1, q_2, q_3, \dots, t_1, t_2, \dots)$
- Trouver $\mathbf{q} = g(M)$
- Deux rotations: calcul direct
- Trois rotations : calcul direct
- N articulations : ?

Deux rotations

- Solution directe :

$$d = \sqrt{x^2 + y^2}$$

$$d^2 = (L_1 + L_2 \cos \varphi_2)^2 + (L_2 \sin \varphi_2)^2$$

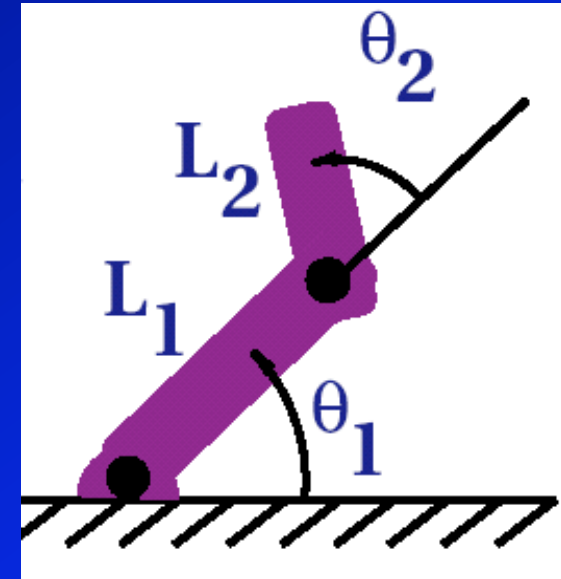
$$d^2 = L_1^2 + L_2^2 + 2L_1L_2 \cos \varphi_2$$

$$\cos \varphi_2 = \frac{d^2 - L_1^2 - L_2^2}{2L_1L_2}$$

$$\tan(\varphi) = \frac{L_2 \sin \varphi_2}{L_1 + L_2 \cos \varphi_2}$$

$$\tan(\varphi_1 + \varphi) = \frac{y}{x}$$

$$\varphi_1 = \arctan \frac{y}{x} - \arctan \frac{L_2 \sin \varphi_2}{L_1 + L_2 \cos \varphi_2}$$

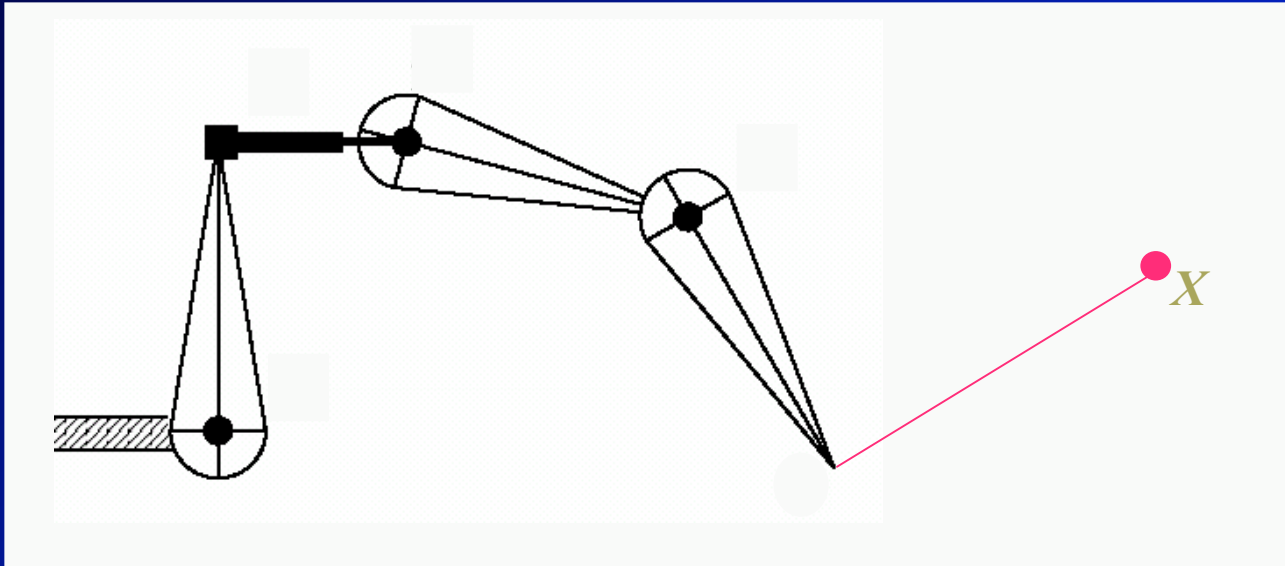


+d emo

Trois rotations

- Encore une solution directe
 - trigonométrie
- Paramètre supplémentaire
 - Choix de la solution
- Limites des articulations

Cas général : n articulations



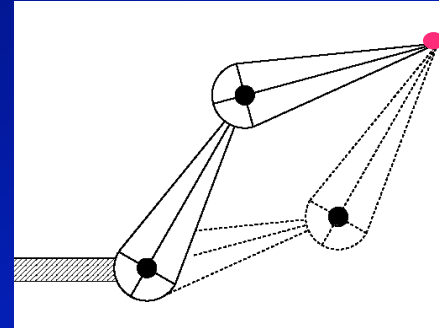
- On veut que $f(\mathbf{q})=M$
- \mathbf{q} =vecteur des paramètres du modèle
 - $\mathbf{q} = (q_1, q_2, q_3, \dots, t_1, t_2, \dots)$
- $f(\mathbf{q})$ position de l'extrémité du modèle (coord. 2D)
- M position de la cible (coordonnées 2D)
- Connaissant M, trouver \mathbf{q}

Pourquoi c'est difficile ?

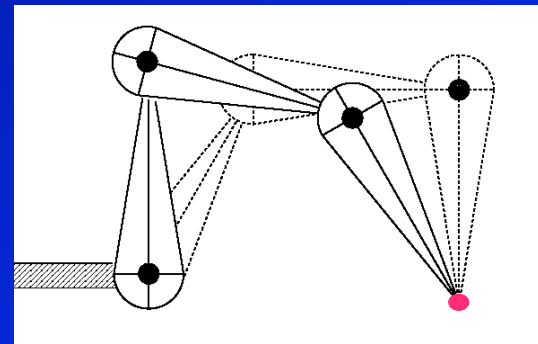
- Problème non-linéaire
- Plusieurs solutions
- Pas toujours bien conditionné
- Limites des articulations

Non-unicité

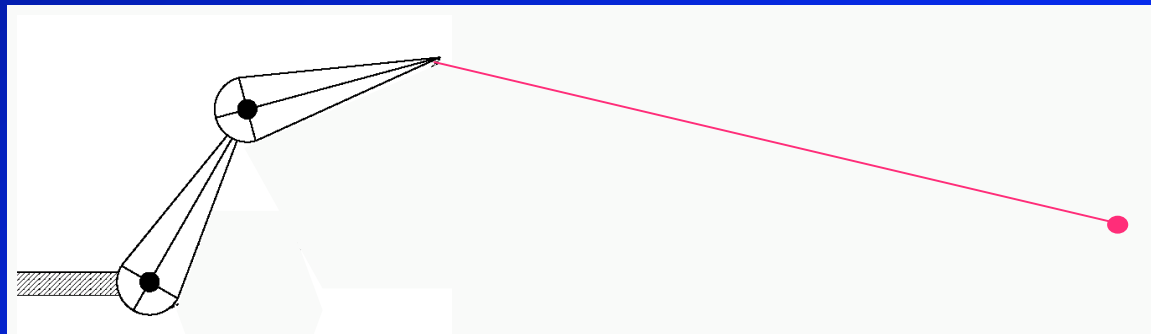
- Deux solutions :



- Intervalle de solutions :

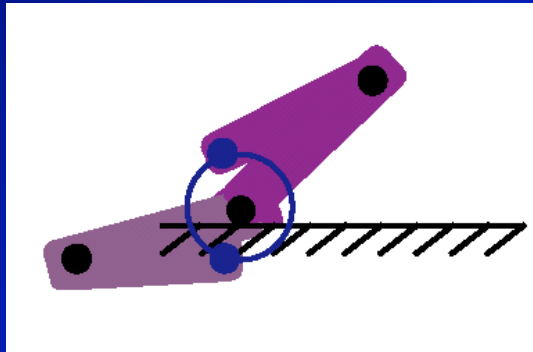


- Pas de solutions :

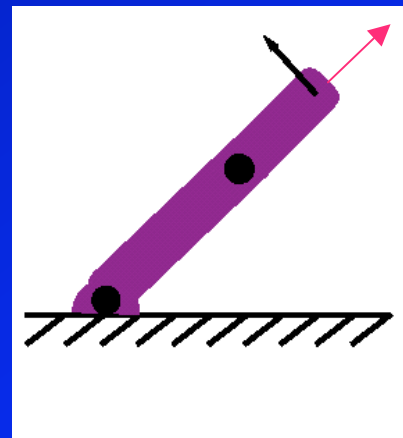


Pas toujours bien conditionné

- Petite différence sur M , grande différence sur \square :



- Changer \square ne rapproche pas de M :



Au fait, que vaut f ?

- Matrice de transformation
- Concaténation des matrices
- $f(\square) = \mathbf{R}_1(\square_1) \mathbf{T}_1 \mathbf{R}_2(\square_2) \mathbf{T}_2 \mathbf{R}_3(\square_3) \mathbf{T}_3 \dots M_0$
 - M_0 position extrémité du bras avant rotations
- Non-linéaire à cause des rotations
- Calcul de f : cinématique directe

Racines d'une fonction non-linéaire

- On veut trouver α tel que : $f(\alpha) - M = 0$
- Linéarisation du problème :

$$f(\alpha + h) = f(\alpha) + f'(\alpha)h + \frac{f''(\alpha)}{2}h^2 + \dots$$

- On part d'une valeur de α et de $f(\alpha)$
- On ne connaît pas α tel que $f(\alpha + \Delta\alpha) = M$
- On peut trouver α' qui s'en rapproche
- $\alpha \leftarrow \alpha + \Delta\alpha$ et on itère

Linéarisation

- Séries de Taylor :

$$f(x + h) = f(x) + f'(x)h + \frac{f''(x)}{2}h^2 + \dots$$

- Cas des fonctions à plusieurs variables :

$$f(x + h) = f(x) + \mathbf{J}(x)h + \frac{1}{2}h^t \mathbf{H}(x)h + \dots$$

- \mathbf{J} Jacobien de f , forme linéaire
- \mathbf{H} Hessien de f , forme quadratique

Jacobien

- Matrices des dérivées d'une fonction à plusieurs variables :

$$J_{ij} = \frac{\partial f_i}{\partial x_j}$$

$$\mathbf{J}(\mathbf{x}) = \begin{bmatrix} \frac{\partial f_x}{\partial x_0}(\mathbf{x}) & \frac{\partial f_x}{\partial x_1}(\mathbf{x}) & \dots \\ \frac{\partial f_y}{\partial x_0}(\mathbf{x}) & \frac{\partial f_y}{\partial x_1}(\mathbf{x}) & \dots \\ \frac{\partial f_z}{\partial x_0}(\mathbf{x}) & \frac{\partial f_z}{\partial x_1}(\mathbf{x}) & \dots \end{bmatrix}$$

Jacobien

- Variation de $f(\square)$ au premier ordre
- Approximation linéaire de f
- Matrice $3*n$ (ou $2*n$ en 2D)
- Calcul de **J**:

$$- f(\square) = \mathbf{R}_1(\square_1) \mathbf{T}_1 \mathbf{R}_2(\square_2) \mathbf{T}_2 \mathbf{R}_3(\square_3) \mathbf{T}_3 \dots M_0$$

$$\frac{\partial f}{\partial \square_1} = \frac{\partial \mathbf{R}_1}{\partial \square_1} \mathbf{T}_1 \mathbf{R}_2 \mathbf{T}_2 \mathbf{R}_3 \mathbf{T}_3 \dots M_0$$

Linéarisation du problème

- $f(\square) - M = E$, erreur actuelle
- Trouver \square , tel que $J(\square)\square = E$
- \square : résolution système linéaire
- Approximation linéaire : petits déplacements
 - Petits déplacements dans la direction de \square
- Série de petits déplacements
- Recalculer J et E à chaque étape

Résolution itérative

- Petits pas par petits pas
- À chaque étape :
 - Choix entre plusieurs solutions
 - Prendre solution proche position actuelle
- Taille des pas :
 - Chercher taille optimale ?
 - Rotations : pour $x < 2$ degrés:
 - $\sin(x) \approx x$
 - $\cos(x) \approx 1$
 - Garder pas < 2 degrés

Algorithme

```
inverseKinematics()  
{  
    start with previous  $\theta$ ;  
    E = target - computeEndPoint();  
    for(k=0; k<kmax && |E| > eps; k++){  
        J = computeJacobian();  
        solve J  $\Delta$  = E;  
        if (max( $\Delta$ )>2)  $\Delta$  = 2 $\Delta$ /max( $\Delta$ );  
         $\theta$  =  $\theta$  +  $\Delta$ ;  
        E = target - computeEndPoint();  
    }  
}
```

La bonne question

- solve $J \Delta = E$;
- J n'est pas inversible
 - En fait, J n'est même pas carrée
 - J matrice $2 \times n$:

$$\begin{pmatrix} \frac{\partial f_x}{\partial x_0} \\ \frac{\partial f_x}{\partial x_1} \\ \frac{\partial f_y}{\partial x_0} \\ \frac{\partial f_y}{\partial x_1} \end{pmatrix} = \begin{pmatrix} \frac{\partial f_x}{\partial x_0} & \frac{\partial f_x}{\partial x_1} \\ \frac{\partial f_y}{\partial x_0} & \frac{\partial f_y}{\partial x_1} \end{pmatrix} \begin{pmatrix} \Delta_0 \\ \Delta_1 \end{pmatrix} = \begin{pmatrix} E_x \\ E_y \end{pmatrix}$$

Pseudo-Inverse

- $\mathbf{J}^T \mathbf{J}$ est carrée ($n \times n$). Donc :

$$\mathbf{J} \square = \mathbf{E}$$

$$\mathbf{J}^T \mathbf{J} \square = \mathbf{J}^T \mathbf{E}$$

$$\square = (\mathbf{J}^T \mathbf{J})^{-1} \mathbf{J}^T \mathbf{E}$$

$$\square = \mathbf{J}^+ \mathbf{E}$$

- $\mathbf{J}^+ = (\mathbf{J}^T \mathbf{J})^{-1} \mathbf{J}^T$ *pseudo-inverse* de \mathbf{J}
 - Pareil que l'inverse si \mathbf{J} est carrée et inversible
 - Propriétés : $\mathbf{J} \mathbf{J}^+ \mathbf{J} = \mathbf{J}$, $\mathbf{J}^+ \mathbf{J} \mathbf{J}^+ = \mathbf{J}^+$
 - \mathbf{J} est $m \times n$ \square \mathbf{J}^+ est $n \times m$
- Comment calculer \mathbf{J}^+ ?
 - Surtout si $\mathbf{J}^T \mathbf{J}$ n'est pas inversible

Singular Values Decomposition

- Toute matrice $m \times n$ peut s'exprimer par SVD:
 - $\mathbf{A} = \mathbf{U}\mathbf{S}\mathbf{V}^T$
 - \mathbf{U}, \mathbf{V} : matrices rectangulaires, colonnes orthogonales
 - \mathbf{S} matrice diagonale, *singular values*

$$\mathbf{A} = \mathbf{U} \begin{bmatrix} \square s_1 & 0 & \dots & 0 \\ \square 0 & s_2 & \dots & 0 \\ \square \vdots & \vdots & \ddots & \vdots \\ \square 0 & 0 & \dots & s_n \end{bmatrix} \mathbf{V}^T$$

Singular Values Decomposition

- **S** unique à l'ordre et au signe des valeurs près
 - Ordre canonique : s_i positifs, ordre croissant
 - Rang de **A** : nombre de valeurs non-nulles
 - Déterminant : produit des valeurs
- **U**, **V** : colonnes orthogonales

$$\mathbf{U} = \left(\begin{array}{cccc} \vec{h}_1 & \vec{h}_2 & \cdots & \vec{h}_n \end{array} \right)$$

Pseudo-Inverse avec SVD

- Calculer SVD: $A = USV^T$
- Pseudo-inverse : $A^+ = VS^{-1}U^T$

$$\begin{array}{ccccccc}
 \begin{array}{c} \square \\ \square \\ \square \\ \square \\ \square \end{array} s_1 & 0 & 0 & \begin{array}{c} \square \\ \square \\ \square \\ \square \\ \square \end{array}^{-1} & = & \begin{array}{c} \square \\ \square \\ \square \\ \square \\ \square \end{array} \begin{array}{c} 1 \\ s_1 \\ 0 \\ 0 \\ 0 \end{array} & \begin{array}{c} \square \\ \square \\ \square \\ \square \\ \square \end{array} \\
 \begin{array}{c} \square \\ \square \\ \square \\ \square \\ \square \end{array} 0 & \ddots & 0 & \begin{array}{c} \square \\ \square \\ \square \\ \square \\ \square \end{array} & & \begin{array}{c} \square \\ \square \\ \square \\ \square \\ \square \end{array} \begin{array}{c} 0 \\ \ddots \\ 0 \\ 0 \\ 1 \end{array} & \begin{array}{c} \square \\ \square \\ \square \\ \square \\ \square \end{array} \\
 \begin{array}{c} \square \\ \square \\ \square \\ \square \\ \square \end{array} 0 & 0 & s_n & \begin{array}{c} \square \\ \square \\ \square \\ \square \\ \square \end{array} & & \begin{array}{c} \square \\ \square \\ \square \\ \square \\ \square \end{array} \begin{array}{c} 0 \\ 0 \\ \frac{1}{s_n} \\ 0 \\ 0 \end{array} & \begin{array}{c} \square \\ \square \\ \square \\ \square \\ \square \end{array}
 \end{array}$$

- Singulière : $s_i = 0$
- Mal conditionnée $s_i \ll s_0$
 - Prendre 0 au lieu de $1/s_i$ pour ces valeurs
 - Test : $s_i < \epsilon s_0$

Résoudre $\mathbf{AX}=\mathbf{B}$ avec SVD

- \mathbf{A}^+ tronquée
- $\mathbf{A}^+\mathbf{B}$ donne la solution des *moindres carrés* :
 - Pas de solutions : X qui minimise $\|\mathbf{AX}-\mathbf{B}\|^2$
 - Plusieurs solutions : $\|X\|^2$ minimal tel que $\mathbf{AX}=\mathbf{B}$
 - Stable numériquement, même pour matrices mal-conditionnées
- SVD : marteau-pilon
 - $O(n^3)$ (lent)
 - Marche toujours, et assez rapide pour nous.
 - Difficile à implémenter, cf. *Numerical Recipes in C*
- Autres méthodes pour IK: CCD, \mathbf{J}^T, \dots

Et la cinématique inverse ?

- On veut résoudre $X=f(\square)+J(\square)\square$
 - $f(\square)$ position de l'extrémité du bras
 - i^e colonne de J vient de l'articulation i
 - $f(\square)=\mathbf{R}_1(\square_1)\mathbf{T}_1\mathbf{R}_2(\square_2)\mathbf{T}_2\mathbf{R}_3(\square_3)\mathbf{T}_3\dots M_0$

$$\frac{\partial f}{\partial \square_1} = \frac{\partial \mathbf{R}_1}{\partial \square_1} \mathbf{T}_1 \mathbf{R}_2 \mathbf{T}_2 \mathbf{R}_3 \mathbf{T}_3 \dots M_0$$

$$\frac{\partial f}{\partial \square_1} = \mathbf{R}_1 \left(\square_1 + \frac{\square_1}{2} \right) \mathbf{T}_1 \mathbf{R}_2 \mathbf{T}_2 \mathbf{R}_3 \mathbf{T}_3 \dots M_0$$

Calcul du Jacobien

- Jacobien d'une rotation :

$$\vec{r} = f(\theta) \cdot \text{pivot}_i = \begin{bmatrix} r_x \\ r_y \end{bmatrix}$$
$$\frac{\partial f}{\partial \theta_i}(\theta) = \begin{bmatrix} r_y \\ r_x \end{bmatrix}$$

- Jacobien d'une translation
 - Vecteur dans la direction de translation
- Remarques :
 - Calcul en coordonnées du monde, pas du modèle
 - Degrés/radians !!! (dérivée $\cdot \pi/180$?)
 - Un degré de liberté par articulation

Algorithme

```
inverseKinematics ()
{
    Vector  $\theta$  = getLinkParameters ();
    Vector E = target - computeEndPoint ();
    for(k=0; k<kmax && E.norm() > eps; k++) {
        Matrix J = computeJacobian ();
        Matrix J+ = pseudoInverse (J);
        Vector  $\Delta$  = J+E ;
        if (max( $\Delta$ )>2)  $\Delta$  *= 2/max( $\Delta$ );
         $\theta$  =  $\theta$ + $\Delta$ ;
        putLinkParameters ();
        E = target - computeEndPoint ();
    }
}
```

Inverse Kinematics, niveau II

- Limites aux articulations
- Choix de la configuration

Limites aux articulations

- Chaque articulation a un intervalle limité
 - Par ex. le coude : varie sur $[0, \square]$
 - Élément important du réalisme
- Pour forcer les limites :
 - Tester si dépassement
 - Annuler paramètre i
 - Recalculer sans i
 - Vérifier les autres paramètres

Limites aux articulations

- Algorithme modifié :
 - Après avoir calculé α , test pour ch. articulation:

$$\alpha_i^{\min} < \alpha_i + \alpha_i < \alpha_i^{\max}$$

- Si ça sort de l'intervalle :
 - Annuler colonne i de \mathbf{J}
 - Revient à annuler paramètre i
- Recalculer \mathbf{J}^+
 - Moindres carrés : $\alpha_i \neq 0$
 - Pour plus de robustesse, forcer $\alpha_i = 0$
- Trouver α , itérer

Choix de la configuration

- Si on a une solution homogène \square :
 - $\mathbf{J}\square = 0$
- Si \square solution de $\mathbf{J}\square = \mathbf{E}$, alors $\square + \square$ aussi :
 - $\mathbf{J}(\square + \square) = \mathbf{J}\square + \mathbf{J}\square = \mathbf{E} + 0 = \mathbf{E}$
- Si on veut modifier \square , de C:
 - On projette C sur le noyau de J:

$$C_{proj} = (\mathbf{J}^+ \mathbf{J} \square \mathbf{I}) C$$

$$\mathbf{J}[(\mathbf{J}^+ \mathbf{J} \square \mathbf{I}) C] = [\mathbf{J} \mathbf{J}^+ \mathbf{J} \square \mathbf{J}] C = (\mathbf{J} \square \mathbf{J}) C = 0$$

Choix de la configuration

- Valeurs souhaitée : \square_{pref}
- Changement voulu C :
 - $C_i = w_i(\square_i - \square_{\text{pref}})_i$
 - Poids w_i donne importance relative
- Algorithme modifié :
 - Construire C
 - Utiliser $\square = \mathbf{J}^+ \mathbf{E} + (\mathbf{J}^+ \mathbf{J} - \mathbf{I}) \mathbf{C}$
 - La projection de C sur le noyau ne nuit pas à la convergence
 - La solution penche vers \square_{pref}

Algorithmes numériques

- Beaucoup d'algorithmes for la recherche de racines de systèmes non-linéaires
 - Celui-ci marche, il y en a d'autres
- Recherche de racines lié à l'*optimisation*
 - $F(\square)=X$ minimise $\|F(\square)-X\|^2$
- Nombreux problèmes d'optimisation en animation
- Nombreux algorithmes doivent résoudre $\mathbf{AX}=B$

Plan du cours

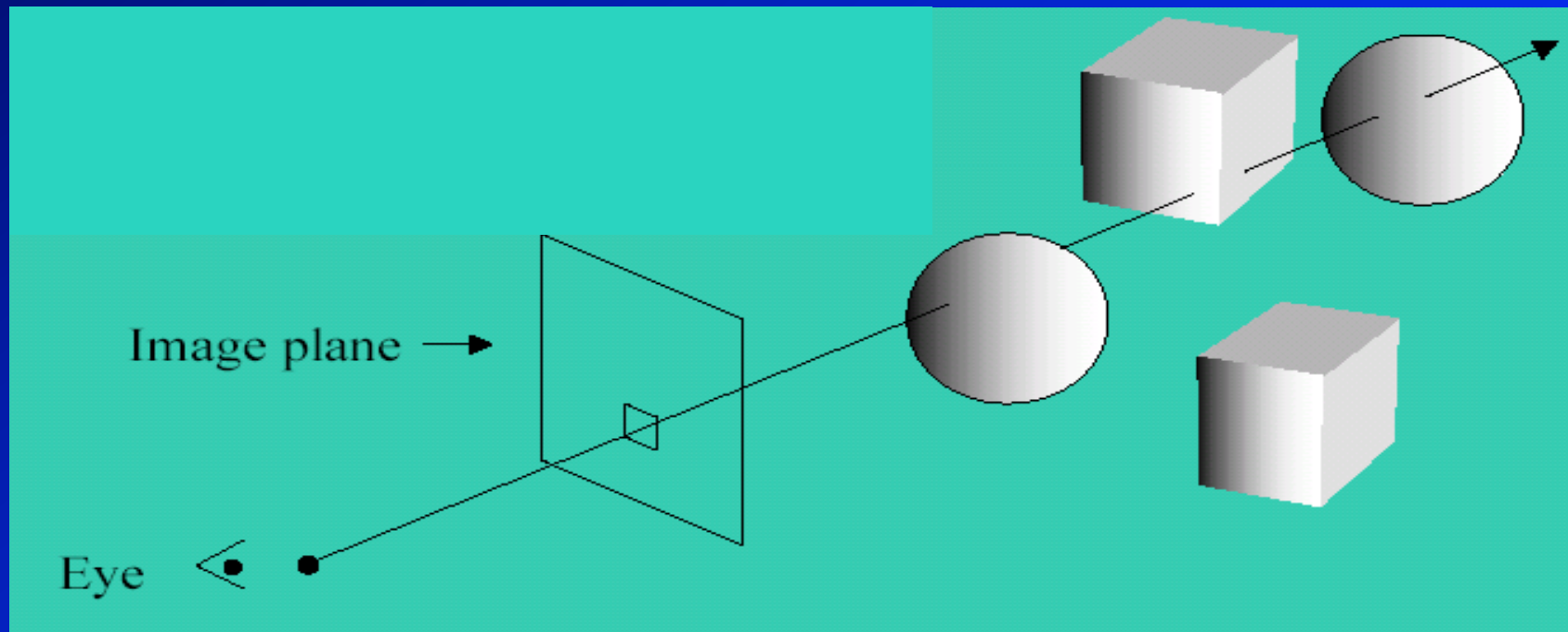
- Cinématique inverse :
 - Pourquoi faire ?
 - Animation d'un modèle
- Manipulation directe du modèle :
 - Sélection
 - Tirer une partie du modèle

Manipulation du modèle

- L'utilisateur clique à la souris
 - Trouver quel objet il a sélectionné
- 2D :
 - Conversion coord. écran vers coord. monde
- 3D :
 - Droite reliant l'œil au pixel
 - Trouver 1^{er} objet intersecté

Sélection

- Intersection droite/modèle
 - Primitive par primitive



Sélection : modèle hiérarchique

- Descente dans la hiérarchie,
 - test à chaque niveau
- Transformation de la droite en coords. locale
- Accélération possible avec boite englobante
- Trouver le point d'intersection le plus proche

Sélection : outils OpenGL

- `glGetDoublev(GL_PROJECTION_MATRIX, pmatrix);`
 - Renvoie la matrice de projection
- `glGetDoublev(GL_MODELVIEW_MATRIX, mmatrix);`
 - Renvoie la matrice du modèle
- `glGetIntegerv(GL_VIEWPORT, viewport);`
 - Renvoie le viewport (x_{\min} , y_{\min} , width, height)
- Point cliqué (x, y)
 - En pixels
 - Convertir en coordonnées du monde :

```
gluUnProject(xwin, ywin, zwin, mmatrix, pmatrix,  
viewport, *xobj, *yobj, *zobj);
```

Sélection : outils OpenGL

- Problème : trouver z_{win}
 - Inconnu
 - Point cliqué sur l'écran
 - $z_{\text{win}} = 0$
- Droite œil/ M_{obj} (donné par `gluUnProject`)
- Intersection avec les objets de la scène

Sélection : outils OpenGL (avancé)

- Mode *sélection* :
- L'utilisateur clique sur l'écran
- On restreint à une zone d'intérêt précise
 - e.g. 5*5 pixels autour du point cliqué
- On retrace la scène
 - En mode *sélection*
 - Chaque primitive est nommée
- OpenGL renvoie les noms des primitives

OpenGL : mode sélection

- Restreindre à une zone d'intérêt précise :

```
gluPickMatrix(x, y, delX, delY, viewport);
```

- Appeler *avant* `gluPerspective(...)` ;

- Mode sélection :

- Créer un buffer pour stocker les noms des objets:

```
glSelectBuffer(size, buffer);
```

- Passer en mode sélection :

```
glRenderMode(GL_SELECT);
```

OpenGL : mode sélection

- En mode sélection :

- Nommer les primitives :

- `glInitNames();`

- `glLoadName(int);`

- Tracer les primitives

- Également : `glPushName(int); glPopName();`

- Repasser en mode normal :

- `numHits = glRenderMode(GL_RENDER);`

- `buffer` contient les noms des primitives tracées

OpenGL : mode sélection

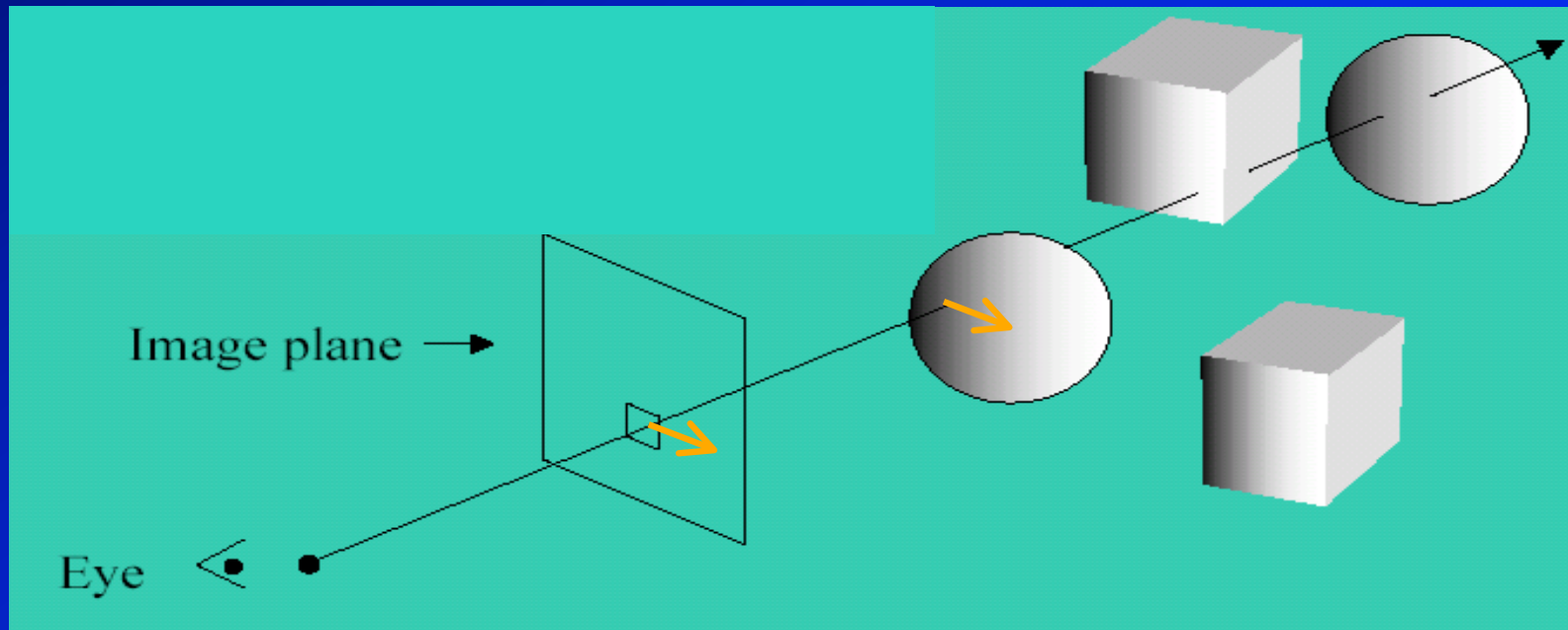
```
glGetIntegerv(GL_VIEWPORT, viewport);
gluPickMatrix(x, y, 5, 5, viewport);
gluPerspective(...);
glSelectBuffer(100, buffer);
glRenderMode(GL_SELECT);
glInitNames();
drawNamedObjects();
numHits = glRenderMode(GL_RENDER);
if (numHits > 1) {
    glGetDoublev(GL_PROJECTION_MATRIX, pmatrix);
    glGetDoublev(GL_MODELVIEW_MATRIX, mmatrix);
    gluUnProject(x, y, 0, mmatrix, pmatrix, viewport,
                objx, objy, objz);
    /* calculer points d'intersection pour ch. objet */
    /* garder objet avec intersection la plus proche */
}
```

Mode sélection

- Facile à implémenter
- Pas forcément le plus rapide
- Peut servir à d'autres choses :
 - Objets visibles d'un point
 - Pré-sélection d'objets dans l'espace
 - Prévision de collisions

Faire glisser

- Vecteur donnée en coordonnées pixel
 - Traduire en coordonnées monde
- En 3D, déplacement parallèle au plan écran
- Mettre à jour position objet sélectionné



Plan du cours

- Cinématique inverse :
 - Pourquoi faire ?
 - Animation d'un modèle
- Manipulation directe du modèle :
 - Sélection
 - Tirer une partie du modèle

Inverse Kinematics, niveau III

- Autres méthodes :
 - Transposée du Jacobien
 - Cyclic Coordinate Descent

Transposée du Jacobien

- Au lieu du pseudo-inverse, utiliser le Jacobien :
 - Au lieu de : $\Delta y = \mathbf{J}^+(\Delta x)$
 - On prend : $\Delta y = \mathbf{J}^T(\Delta x)$
- Pratique :
 - Pas d'inversion
 - Pas de singularités
- Mais pourquoi ça marche ?

Travaux virtuels

- Déplacement infinitésimaux

- $W = \text{force} \cdot \text{distance}$
- $W = \text{moment} \cdot \text{angle}$

$$F \cdot \delta x = M \cdot \delta \theta$$

$$F^T \delta x = M^T \delta \theta$$

$$\delta x = \mathbf{J} \delta \theta$$

$$F^T \mathbf{J} \delta \theta = M^T \delta \theta$$

$$F^T \mathbf{J} = M^T$$

$$M = \mathbf{J}^T F$$

Transposée du Jacobien

- Distance à l'objectif = force qui tire l'extrémité
- Remplacer système non-linéaire par système dynamique
 - Lois de la dynamique
- Équivalent à *steepest descent algorithm*

Transposée du Jacobien

- Avantages :
 - Pas d'inversion (numériquement moins cher)
 - Pas de singularités
- Inconvénients :
 - Convergence plus lente
 - \mathbf{J}^+ donnait solution avec norme minimale
 - Ici pas le cas :
 - Éléments éloignés ont influence plus grande
 - Problèmes d'échelle

Cyclic Coordinate Descent

- Problème multi-dimensionnel compliqué
- Résoudre une série de problèmes 1D
- Pour chaque articulation :
 - Trouver valeur du paramètre qui se rapproche le plus de la solution
 - Solution analytique
- Itérer

Cyclic Coordinate Descent

- Avantages :
 - Facile à implémenter
 - Efficace (souvent)
 - Numériquement pas cher
- Inconvénients :
 - Mouvements peu naturels
 - Ne trouve pas forcément la solution optimale
 - Limiter les pas à chaque étape
 - Mais convergence plus lente